

## Capitolo 8

# Rappresentazione grafica delle funzioni di trasferimento: diagramma di Nyquist

### 8.1 Proprietà generali del diagramma di Nyquist

Il diagramma di Nyquist (o “polare”) della funzione  $W(j\omega)$  è definito nel piano di Gauss  $(x, y)$  come la curva di rappresentazione parametrica

$$\begin{aligned}x &= \Re W(j\omega) \\y &= \Im W(j\omega)\end{aligned}\tag{8.1}$$

al variare di  $\omega$  in  $\mathbb{R}$ . Essa è usualmente graduata nei valori della pulsazione, che vengono specificati lungo la curva in numero sufficiente da rendere agevole l'interpolazione. I valori del modulo  $|W(j\omega)|$  e della fase  $\angle W(j\omega)$  sono di deduzione immediata, cosicché è agevole passare dal diagramma di Nyquist a quelli di Bode e viceversa.

Le seguenti proprietà sono di importanza fondamentale per il tracciamento e lo studio del diagramma di Nyquist.

**Proprietà 8.1.1** [CONIUGIO] *Ogni funzione di trasferimento  $W(s)$  ottenuta dalla Laplace trasformata di una delle equazioni differenziali introdotte nel capitolo 4 è razionale e a coefficienti reali, quindi soddisfa*

$$\check{W}(j\omega) = \frac{\check{q}(j\omega)}{\check{p}(j\omega)} = \frac{q(-j\omega)}{p(-j\omega)} = W(-j\omega).\tag{8.2}$$

*Pertanto, il punto del diagramma di Nyquist corrispondente alla pulsazione  $-\omega$  è il complesso coniugato del punto corrispondente alla pulsazione  $\omega$  e il diagramma di Nyquist relativo alle pulsazioni negative si ottiene per coniugio di quello relativo alle pulsazioni positive, ovvero, geometricamente, per ribaltamento intorno all'asse  $x$*

Si noti che la medesima proprietà vale, più in generale, ogniqualvolta  $W(s)$  è la trasformata di una funzione  $w(t)$  a valori reali e  $W(j\omega)$  ne rappresenta la restrizione all'asse immaginario, se il semipiano di convergenza lo include, o la restrizione all'asse immaginario del prolungamento analitico di  $W(s)$  in caso contrario.

Si supponga ora che  $W(s)$  sia priva di zeri e di poli sull'asse immaginario e sia

$$W(s) = \frac{b_0 + b_1s + \dots + b_ms^m}{a_0 + a_1s + \dots + s^n} = K' \frac{(s - \alpha'_1)(s - \alpha'_2) \dots (s - \alpha'_m)}{(s - \alpha_1)(s - \alpha_2) \dots (s - \alpha_n)}$$

Sull'asse immaginario risulta allora, per ogni  $\omega$

$$W(j\omega) = K' \frac{(j\omega - \alpha'_1)(j\omega - \alpha'_2) \dots (j\omega - \alpha'_m)}{(j\omega - \alpha_1)(j\omega - \alpha_2) \dots (j\omega - \alpha_n)},$$

quindi il modulo e la fase di  $W(j\omega)$  sono rispettivamente

$$|W(j\omega)| = |K'| \frac{|j\omega - \alpha'_1| |j\omega - \alpha'_2| \dots |j\omega - \alpha'_m|}{|j\omega - \alpha_1| |j\omega - \alpha_2| \dots |j\omega - \alpha_n|}, \quad (8.3)$$

$$\begin{aligned} \angle W(j\omega) = & \angle K' + \angle(j\omega - \alpha'_1) + \angle(j\omega - \alpha'_2) + \dots + \angle(j\omega - \alpha'_m) \\ & - \angle(j\omega - \alpha_1) - \angle(j\omega - \alpha_2) - \dots - \angle(j\omega - \alpha_n) \end{aligned} \quad (8.4)$$

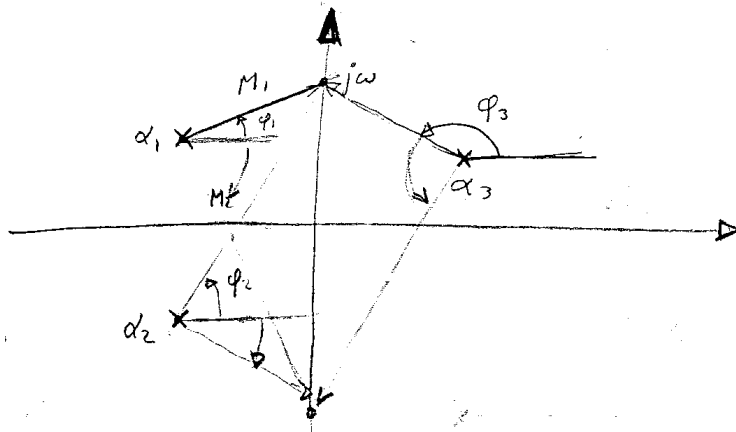


Figura 8.1.1

Dalla figura 8.1.1 è ovvio che la “variazione totale della fase” per  $\omega$  variabile da  $-\infty$  a  $+\infty$  è somma di

- un contributo pari a  $\pi$  per ciascuno zero a parte reale negativa e per ciascun polo a parte reale positiva,

- un contributo pari a  $-\pi$  per ciascuno zero a parte reale positiva e per ciascun polo a parte reale negativa.

Sulla base di quanto precede, possiamo concludere con la seguente

**Proprietà 8.1.2** [VARIAZIONE DI FASE] *Se  $W(s)$  è priva di poli e zeri immaginari, e se gli zeri e i poli a parte reale positiva, contati con la rispettiva molteplicità, sono rispettivamente in numero di<sup>1</sup>  $Z_u$  e  $P_u$ , mentre quelli a parte reale negativa sono in numero di  $Z_s$  e  $P_s$ , la variazione totale di fase quando  $\omega$  varia da  $-\infty$  a  $+\infty$  è data da*

$$V_f = \pi(P_u - Z_u) - \pi(P_s - Z_s) \quad (8.5)$$

$$\begin{aligned} &= \pi(P_u - Z_u) - \pi(n - P_u - m + Z_u) \\ &= 2\pi(P_u - Z_u) + \pi(m - n) \end{aligned} \quad (8.6)$$

<sup>1</sup>pedice “u” per “unstable”, pedice “s” per “stable”

Quando  $W(s)$  ha  $P_{\text{im}}$  poli e  $Z_{\text{im}}$  zeri sull'asse immaginario (contandoli, al solito, con le rispettive molteplicità), la formula (7.5) continua a valere, pur di considerare soltanto la cosiddetta “variazione al finito”, ottenuta sommando le variazioni di fase corrispondenti ai percorsi fra due singolarità consecutive

$$j(\omega_\nu + \epsilon) \rightarrow j(\omega_{\nu+1} - \epsilon), \quad \omega_\nu < \omega_{\nu+1}, \quad \epsilon > 0$$

lungo l'asse immaginario, quando  $\epsilon$  tende a zero.

La (7.6) viene sostituita, invece, da

$$V_f = 2\pi(P_u - Z_u) + \pi(m - n) + \pi(P_{\text{im}} - Z_{\text{im}}). \quad (8.7)$$

## 8.2 Comportamento del diagramma a pulsazione nulla

Se la funzione di trasferimento è di tipo zero (ossia non ha zeri o poli nell'origine), allora nella funzione di trasferimento, espressa in forma irriducibile, risulta  $a_0, b_0 \neq 0$  e si ha

$$\lim_{\omega \rightarrow 0^+} W(j\omega) = \lim_{\omega \rightarrow 0^+} \frac{b_0 + j\omega b_1 + \dots}{a_0 + j\omega a_1 + \dots} = \frac{b_0}{a_0} = W(0) \quad (8.8)$$

Se il tipo è  $\nu_0 > 0$  (ossia sono presenti  $\nu_0$  poli nell'origine), chiaramente si ha

$$\lim_{\omega \rightarrow 0^+} W(j\omega) = \infty \quad (8.9)$$

mentre, se la funzione di trasferimento ha uno zero nell'origine ( $\nu_0 < 0$ ) evidentemente si ha

$$\lim_{\omega \rightarrow 0^+} W(j\omega) = 0 \quad (8.10)$$

Nel caso (7.8) può essere interessante conoscere come il diagramma polare lascia l'asse reale quando  $\omega$  passa dal valore zero a valori positivi.

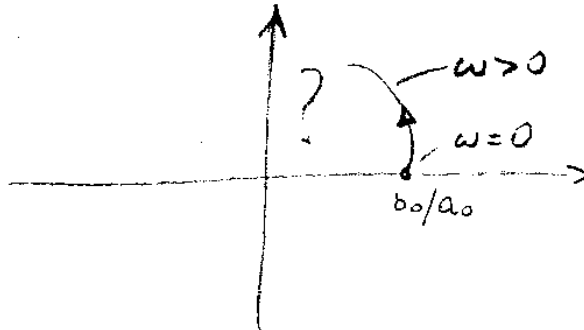


Figura 8.1.2

A tale scopo, consideriamo la derivata di  $W(s)$  nell'origine

$$\left. \frac{dW(s)}{ds} \right|_{s=0} = \left. \frac{q'(s)p(s) - q(s)p'(s)}{p^2(s)} \right|_{s=0} = \frac{b_1 a_0 - b_0 a_1}{a_0^2}$$

e poniamo

$$W(j\omega) - W(0) \sim \left. \frac{dW(s)}{ds} \right|_{s=0} j\omega = \frac{b_0}{a_0} \left( \frac{b_1}{b_0} - \frac{a_1}{a_0} \right) j\omega = j\omega W(0) \left( \frac{b_1}{b_0} - \frac{a_1}{a_0} \right)$$

Quindi, purché sia  $\frac{b_1}{b_0} \neq \frac{a_1}{a_0}$ , la curva lascia l'asse perpendicolarmente, orientata "verso l'alto" se  $W(0)$  e  $\frac{b_1}{b_0} - \frac{a_1}{a_0}$  hanno segno concorde, "verso il basso" se hanno segno discorde.

**Esempio 8.2.1** Si consideri la funzione di trasferimento

$$W(s) = \frac{1+s}{2+s}$$

per la quale si ha

$$W(0) = \frac{1}{2}; \quad \left. \frac{dW}{ds} \right|_{s=0} = \frac{1}{(2+s)^2} \Big|_{s=0} = \frac{1}{4}$$

Abbiamo allora, per piccoli valori di  $\omega$ ,

$$W(j\omega) \sim W(0) + \frac{1}{4}j\omega = \frac{1}{2} + \frac{1}{4}j\omega$$

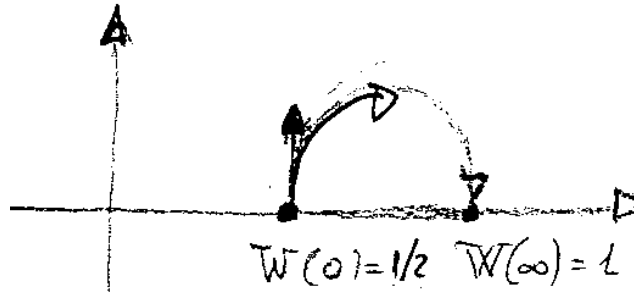


Figura 8.2.1

come risulta evidente dalla figura 8.2.1. Si noti altresì che la variazione di fase è data da

$$V_f = 2\pi(P_u - Z_u) + \pi(m - n) = 0$$

**Esempio 8.2.2** Per la funzione di trasferimento

$$W(s) = \frac{-1+s}{2+s+s^2}$$

si ha  $W(0) = -\frac{1}{2}$ ,  $\left. \frac{dW}{ds} \right|_{s=0} = \frac{-s^2 + 2s + 3}{(2+s+s^2)^2} \Big|_{s=0} = \frac{3}{4}$ , quindi, per piccoli  $\omega$ ,

$$W(j\omega) \sim W(0) + \frac{3}{4}j\omega = -\frac{1}{2} + \frac{3}{4}j\omega$$

in accordo con il diagramma di figura 8.2.2. Si noti che la variazione di fase quando  $\omega$  varia da 0 a  $\infty$  soddisfa

$$V_f = 2\pi(P_u - Z_u) + \pi(m - n) = -2\pi - \pi = -3\pi$$

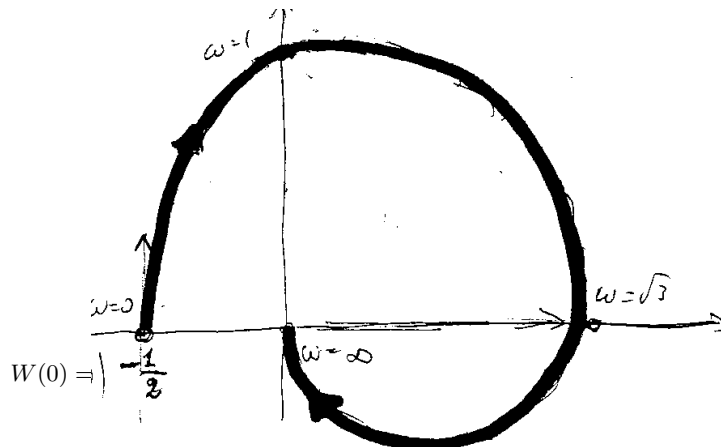


Figura 8.2.2

Per comprendere meglio l'andamento del diagramma di Nyquist, si possono considerare i corrispondenti digrammi di Bode di

$$W(j\omega) = -\frac{1}{2} \frac{1 + j\omega(-1)}{1 + \frac{2\delta}{\omega_n} j\omega - \frac{\omega^2}{\omega_n^2}}$$

con  $\omega_n = \sqrt{2}$  e  $\frac{2\delta}{\omega_n} = \frac{1}{2}$ , che implica  $\delta = 1/2\sqrt{2} \sim 0,35$

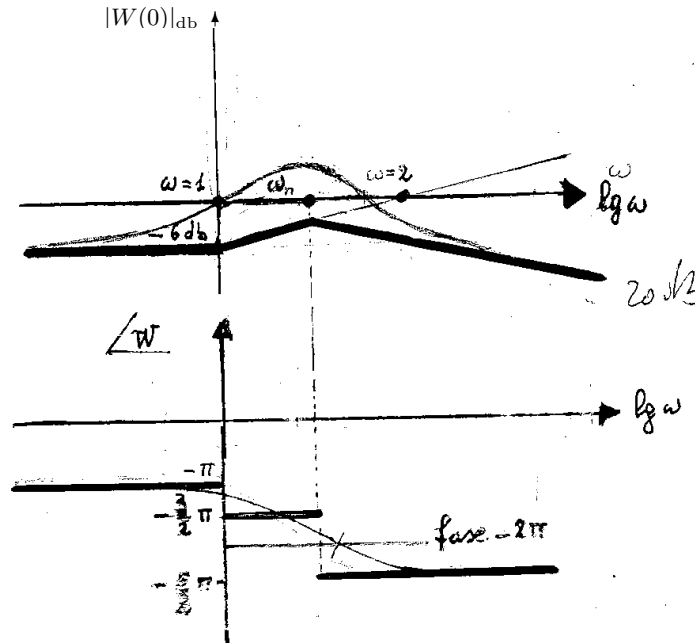


Figura 8.2.3

Dal diagramma di fase è chiara l'esistenza di una pulsazione in corrispondenza alla quale la fase è nulla (mod  $2\pi$ ) e quindi il digramma di Nyquist attraversa il semiasse reale positivo. Esiste pure una pulsazione al finito cui corrisponde una fase di  $\frac{3}{2}\pi$  (e quindi parte reale nulla). Per un calcolo preciso, si noti che

$$\begin{aligned} W(j\omega) &= -\frac{1 - j\omega}{(2 - \omega)^2 + j\omega} = -\frac{(1 - j\omega)(2 - \omega^2 - j\omega)}{(2 - \omega^2)^2 + \omega^2} \\ \Re W(j\omega) &= \frac{2\omega^2 - 2}{(2 - \omega^2)^2 + \omega^2} = 0 \text{ per } \omega = 1 \\ W(j1) &= -\frac{1 - j}{1 + j} = j \\ \Im W(j\omega) &= \frac{j\omega(2 - \omega^2) + j\omega}{(2 - \omega^2)^2 + \omega^2} = \frac{j\omega(3 - \omega^2)}{(2 - \omega^2)^2 + \omega^2} = 0 \text{ per } \omega = \sqrt{3} \\ W(j\sqrt{3}) &= \Re W(j\sqrt{3}) = 1 \end{aligned}$$

Nel caso (7.9), per  $\omega \rightarrow 0$  la funzione  $W(j\omega)$  è descritta convenientemente dai termini dello sviluppo in frazioni parziali relativi al polo nell'origine e, fra questi, da quello di ordine massimo. Se la funzione è

$$W(s) = \frac{b_0 + b_1 s + \dots + b_m s^m}{s^{\nu_0} (a_{\nu_0} + a_{\nu_0+1} s + \dots + s^{n-\nu_0})}$$

con  $b_0$  e  $a_{\nu_0}$  non nulli, per  $s \rightarrow 0$  si ha

$$W(s) \sim \frac{b_0 + b_1 s}{s^{\nu_0} (a_{\nu_0} + a_{\nu_0+1} s)}$$

e quindi

$$W(j\omega) \sim (-j)^{\nu_0} \frac{a_{\nu_0} b_0 + j\omega(a_{\nu_0} b_1 - a_{\nu_0+1} b_0)}{\omega^{\nu_0} (a_{\nu_0}^2 + a_{\nu_0+1}^2 \omega^2)}$$

in cui il termine in  $\omega^2$  può essere trascurato rispetto alla costante e ai termini in  $\omega$ . La fase, per piccoli valori di  $\omega$ , tende allora a

$$-\nu_0 \frac{\pi}{2} + \angle(a_{\nu_0} b_0)$$

mentre il modulo tende, come si è detto, a infinito.

In particolare, se  $\nu_0 = 1$  si ha

$$W(j\omega) \sim -j \frac{b_0}{\omega a_1} + \frac{b_1 a_1 - b_0 a_2}{a_1^2} \quad (8.11)$$

e la parte reale tende al valore  $\frac{b_1 a_1 - b_0 a_2}{a_1^2}$ , che dà luogo a un asintoto verticale nel diagramma di Nyquist.

**Esercizio 8.2.3** Si consideri la funzione di trasferimento

$$W(s) = \frac{10}{s(s+1)(s+4)}$$

Anche senza memorizzare la formula (7.11), si ottiene per via diretta

$$W(j\omega) = \frac{10}{j\omega(-\omega^2 + 5j\omega + 4)} \sim \frac{10}{-5\omega^2 + 4j\omega} \sim \frac{10(-5\omega^2 - 4j\omega)}{16\omega^2 + 25\omega^4} \sim -\frac{25}{8} - \frac{j5}{\omega^2},$$

da cui l'andamento di figura 8.2.4.

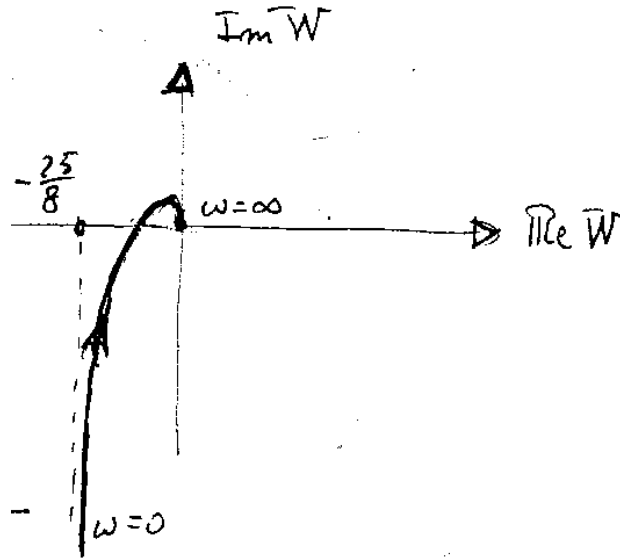


Figura 8.2.4

Infine, nel caso (7.10) in cui  $W(s)$  ha  $\mu$  zeri nell'origine, il comportamento di  $W(j\omega)$  per piccoli valori di  $\omega$  è descritto da

$$W(j\omega) \sim (j\omega)^\mu \frac{b_\mu + j\omega b_{\mu+1}}{a_0 + j\omega a_1} = (j\omega)^\mu \frac{(b_\mu + j\omega b_{\mu+1})(a_0 - j\omega a_1)}{a_0^2 + \omega^2 a_1^2}$$

$$\sim (j\omega)^\mu \left[ \frac{b_\mu}{a_0} + j\omega \frac{b_{\mu+1}a_0 - b_\mu a_1}{a_0^2} \right]$$

e, in particolare, se  $\mu = 1$  (zero semplice nell'origine) si ha

$$W(j\omega) \sim j\omega \frac{b_1}{a_0} - \omega^2 \frac{b_2 a_0 - b_1 a_1}{a_0^2}.$$

La fase quando  $\omega \rightarrow 0_+$  tende allora a  $\mu \frac{\pi}{2} + \angle(b_\mu/a_0)$ .

**Esempio 8.2.4** Si consideri la funzione di trasferimento con uno zero semplice nell'origine

$$W(s) = \frac{20s}{(s+1)(s+10)} = \frac{20s}{s^2 + 11s + 10}$$

Si ha allora

$$\begin{aligned} W(j\omega) &\sim j\omega \frac{b_1 a_0}{a_0^2} - \omega^2 \frac{b_2 a_0 - b_1 a_1}{a_0^2} \\ &= j\omega \frac{200}{100} - \omega^2 \frac{20 \cdot 11}{100} = 2j\omega + 2,2\omega^2 \end{aligned}$$

Il diagramma di Nyquist è riportato in figura 8.2.5 (si traccino i diagrammi di Bode!)

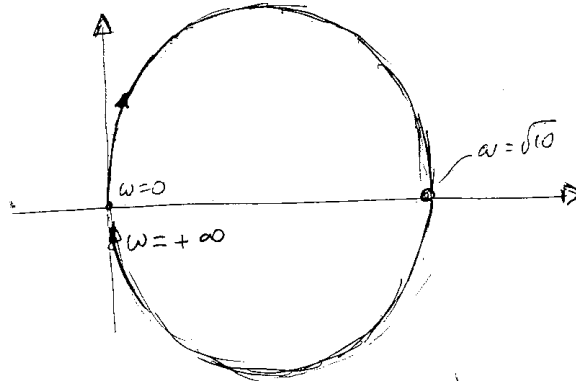


Figura 8.2.5

### 8.3 Comportamento del diagramma per $\omega \rightarrow \infty$

Se nella funzione di trasferimento si ha  $m = n$ , il diagramma tende a un punto dell'asse reale, che vale  $b_n$  quando  $W(s)$  sia espressa nella forma

$$W(s) = \frac{b_0 + b_1 s + \dots + b_n s^n}{a_0 + a_1 s + \dots + s^n}$$

e vale

$$K \frac{(T_1')^{\nu_1'} (T_2')^{\nu_2'} \dots (\frac{1}{\omega_{n1}'} )^{\mu_1'} \dots}{(T_1)^{\nu_1} (T_2)^{\nu_2} \dots (\frac{1}{\omega_{n1}} )^{\mu_1} \dots}$$

nel caso in cui  $W(s)$  sia espressa nella forma di Bode del paragrafo 7.2. Se  $W(s)$  è

strettamente propria, ossia se  $m < n$ , allora, al divergere di  $\omega$ ,  $W(j\omega)$  tende all'origine e si ha l'espressione asintotica

$$W(j\omega) \sim \frac{b_m(j\omega)^m}{(j\omega)^n} = \frac{b_m}{(j\omega)^{n-m}} \rightarrow 0$$

$$\angle W(j\omega) \rightarrow -\frac{\pi}{2}(n-m) + \angle b_m$$

(assumendo, come d'uso, che il polinomio a denominatore sia monico). Nella forma di Bode, si ha invece

$$\angle W(j\omega) \rightarrow -\frac{\pi}{2}(n-m) + \angle K \frac{(T_1')^{\nu_1} (T_2')^{\nu_2} \dots (\frac{1}{\omega_{n1}})^{\mu_1} \dots}{(T_1)^{\nu_1} (T_2)^{\nu_2} \dots (\frac{1}{\omega_{n1}})^{\mu_1} \dots}$$

**Esempio 8.3.1** Si consideri la funzione

$$W(s) = \frac{300(s^2 + 2s + 4)}{s(s+10)(s+20)} = \frac{300s^2 + 600s + 1200}{s^3 + 30s^2 + 200s} = 6 \frac{1 + \frac{2\delta}{\omega_n}s + \frac{1}{\omega_n^2}s^2}{s(1 + \frac{1}{10}s)(1 + \frac{1}{20}s)}$$

con  $\omega_n = 2$  e con  $2\delta/\omega_n = 1/2$ , che implica  $\delta = 1/2$ . Essendo  $n = m = 1$  e  $b_m = b_2 = 300$ , la fase asintotica per  $\omega \rightarrow +\infty$  vale  $-\pi/2$ .

Di seguito riportiamo i diagrammi di Bode e quello di Nyquist di  $W(j\omega)$ .

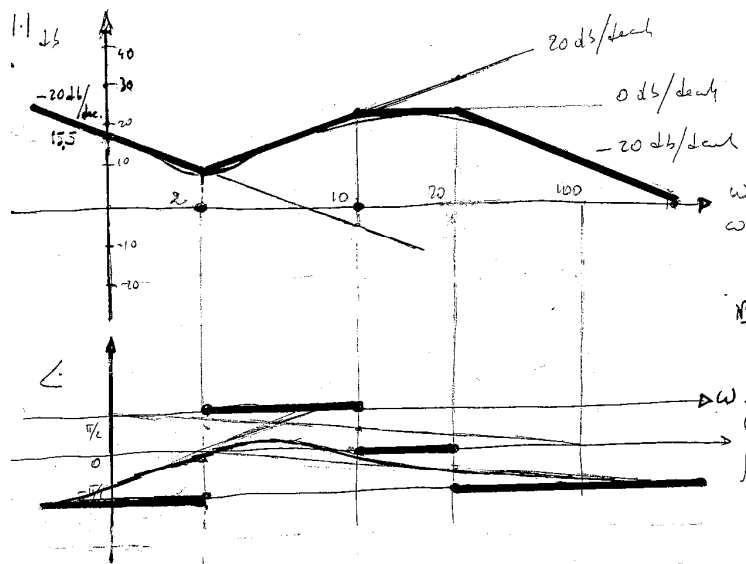
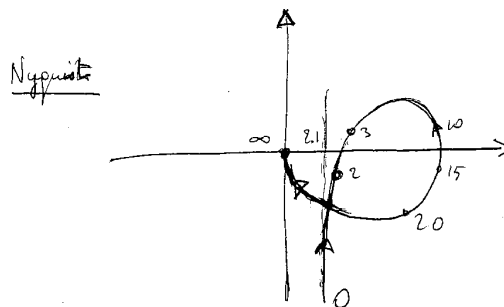


Figura 8.3.1



## 8.4 Complementi ed esercizi

**Esempio 8.4.1** Consideriamo il diagramma di Nyquist di una funzione di trasferimento priva di zeri e dotata soltanto di poli reali e negativi:

$$W(s) = \frac{K'}{(s - \alpha_1)(s - \alpha_2) \cdots (s - \alpha_k)} = \frac{K}{(1 - sT_1)(1 - sT_2) \cdots (1 - sT_k)} \quad (8.12)$$

Nei diagrammi di Bode, il guadagno e la fase sono ovunque decrescenti. Quando  $\omega$  varia da  $-\infty$  a  $+\infty$  si ha una variazione totale di fase pari a

$$V_f = -k\pi \text{ (numero di multipli di } \pi \text{ eguale al numero dei poli).}$$

Di seguito, il diagramma di Nyquist per pulsazioni positive:

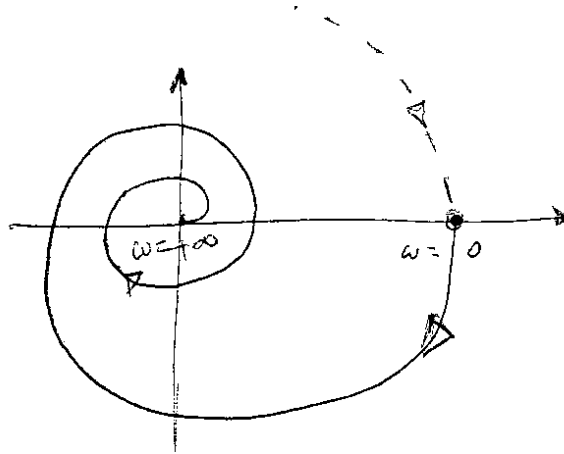


Figura 8.4.1

**Esercizio 8.4.2** Consideriamo ancora la situazione dell'esercizio precedente, ma supponiamo che alcuni poli possano essere positivi e altri negativi, e quindi che in

$$W(s) = \frac{K}{(1 - sT_1)(1 - sT_2) \cdots (1 - sT_k)}$$

alcuni dei  $T_i$  siano di segno positivo e altri di segno negativo. Se li ordiniamo in modo da avere

$$|T_1| \geq |T_2| \geq \cdots \geq |T_k|$$

il diagramma di Bode del guadagno è sempre decrescente al crescere di  $\omega$ , mentre la fase decresce in corrispondenza a un  $T_i$  positivo (polo stabile) e cresce in corrispondenza a un  $T_i$  negativo (polo instabile). Il diagramma di Nyquist non ha più la struttura spiraliforme, ma l'ampiezza decresce monotonamente al crescere di  $\omega$ .

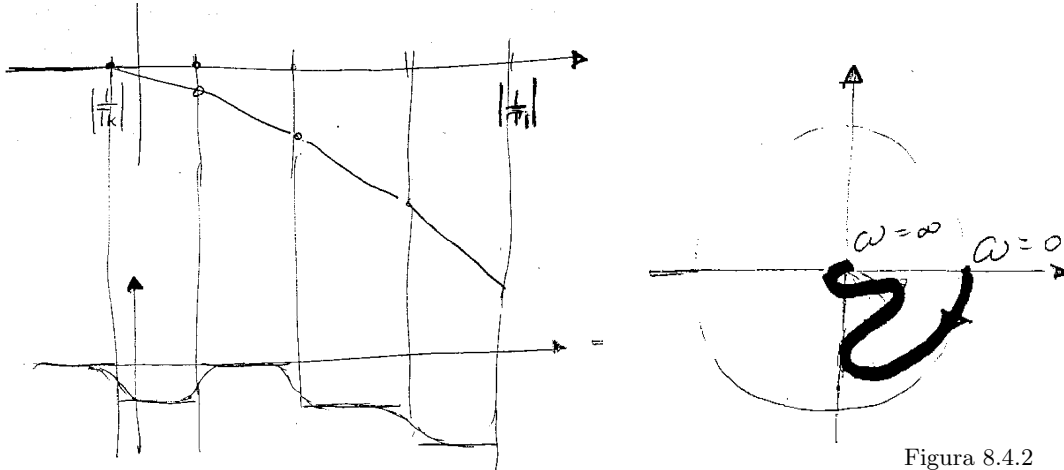


Figura 8.4.2

Nei due esempi precedenti, se manteniamo l'ipotesi di assenza di zeri, ma supponiamo che ci possano essere coppie di poli complessi coniugati, non è detto che il guadagno decresca monotonamente con la pulsazione: si veda il diagramma di Bode in corrispondenza a piccoli valori di  $\delta$ . Ovviamente, l'ampiezza nel diagramma di Nyquist non ha più carattere decrescente.

- ESERCIZIO 8.4.1 Si dimostri che una funzione di trasferimento priva di zeri ha un guadagno ovunque decrescente se i suoi poli appartengono tutti ai settori tratteggiati di figura 8.4.3

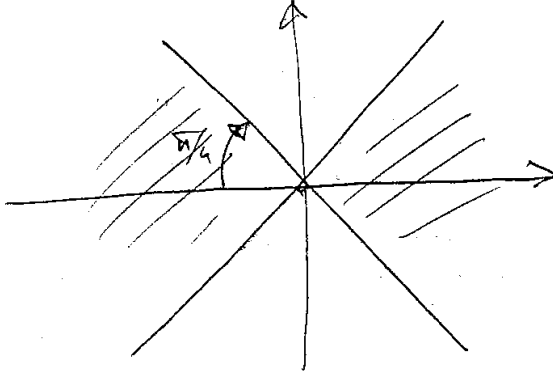


Figura 8.4.3

‡ Suggestimento. Per i poli reali è ovvio, per quelli complessi coniugati, le correzioni al diagramma asintotico di ampiezza sono in diminuzione, se i poli appartengono ai settori indicati

- ESERCIZIO 8.4.2 Se una funzione di trasferimento è priva di zeri, la appartenenza di tutti i poli ai settori di figura 8.4.3 è condizione necessaria (oltre che sufficiente) perché il diagramma di guadagno sia ovunque decrescente?

‡ Soluzione. No. Se una coppia di poli complessi coniugati di pulsazione naturale  $\omega_n$  è preceduta da altri poli che inducono per  $\omega < \omega_n$  una curva di guadagno con pendenza negativa, la correzione corrispondente a un valore  $\delta < 1/\sqrt{2}$  può lasciare decrescente la curva di guadagno intorno a  $\omega_n$ , come suggerito dalla figura 8.4.4

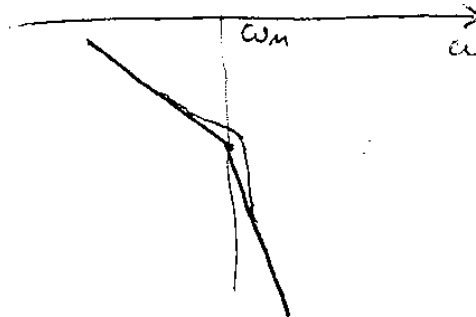


Figura 8.4.4

## 8.5 Riferimenti bibliografici

[Ma ] G.Marro, "Controlli Automatici", Zanichelli

[Si ] N.Sinha, "Control systems" Wiley, 1994